

УДК 004.415.24

**В. К. Задирака**, д-р физ.-мат. наук, профессор,

**И. В. Швидченко**, канд. физ.-мат. наук

Институт кибернетики им. В.М. Глушкова НАН Украины, г. Киев

## **ВЛИЯНИЕ КАЧЕСТВА ОЦЕНКИ ПОГРЕШНОСТИ ОКРУГЛЕНИЯ СТЕГАНОАЛГОРИТМА НА ЕГО СТОЙКОСТЬ**

Обсуждается использование резервов оптимизации стеганоалгоритма для повышения его стойкости.

**Ключевые слова:** *стеганография, спектральный стеганоалгоритм, стеганостойкость, оценка погрешности округления, дискретное преобразование Фурье.*

**Введение.** В теории погрешностей вычислений исследование таких вопросов как использование (в зависимости от задачи) разных видов погрешностей и оценка их качества являются актуальными и малоисследованными задачами. Их важность проявляется при исследовании вопроса о возможности решения задачи с заданными характеристиками качества при данной информации о задаче и при определении не превышенных вычислительных ресурсов. На сегодняшний день актуальным является использование теории погрешностей как инструмента для нахождения параметров программы, позволяющих найти приближенное решение задачи с заданными значениями характеристик качества и конструирования соответствующей компьютерной технологии.

Теория погрешностей вместе с общей теорией оптимальных алгоритмов применяется при решении вопроса о разрешимости задачи с заданными значениями характеристик качества при данной информации о задаче или при доказательстве того факта, что такое решение не существует.

Поднятые вопросы являются актуальными при решении задач вычислительной и прикладной математики [1]. В этой статье мы попытаемся применить их для повышения стойкости алгоритмов решения задач компьютерной стеганографии, как улучшения результатов работ [2–4].

**Аналитический обзор.** В данной статье будет произведена попытка улучшить стеганостойкость спектральных алгоритмов внедрения информации [2–6], которые используют оценки погрешности округления быстрых ортогональных преобразований, за счет использования более общих и точных оценок. Рассматривается случай приближенного задания матрицы ортогонального преобразования, разные правила округления. Наряду с детерминированными априорными асимптотическими оценками рассматриваются также вероятностные оценки погрешности. Необходимо отметить, что детерминиро-

ванные оценки погрешности (даже и неулучшаемые), как правило, являются завышенными для практически решаемых задач, в то время как вероятностные оценки больше ориентированы на задачи средней сложности и лучше описывают поведение реальных погрешностей. Эти два факта — приближенное задание матрицы преобразования и вероятностные оценки погрешности округления, будем надеяться, дадут нам те резервы оптимизации вычислений, которые позволят повысить стеганостойкость спектральных алгоритмов.

Стеганография начала активно исследоваться и развиваться с появлением компьютерных технологий. Это новое направление научных исследований находится на стыке криптографии, теории информации, теории вероятностей и математической статистики, цифровой обработки сигналов и изображений, теории дискретных ортогональных преобразований и других дисциплин.

В общем случае информация, передаваемая по стеганоканалу, может быть искажена операциями обработки контейнера — так называемыми неумышленными атаками. Кроме легальных пользователей (отправителя и получателя), при эксплуатации стеганосистемы возможно наличие третьего участника информационного взаимодействия — нарушителя, осуществляющего умышленные атаки.

Если нарушитель имеет возможность только наблюдать информацию, передаваемую по каналу связи, без возможности ее изменить, то говорят, что мы имеем дело с пассивной атакой на стеганосистему. Если нарушитель имеет возможность модифицировать стеганоконтейнер с целью уничтожения внедренного в него сообщения, то говорят, что мы имеем дело с активной атакой на стеганосистему. И, наконец, если цель нарушителя — достоверная оценка секретного ключа, и как следствие — возможность выполнять функции легального пользователя, в частности генерировать фальшивые стеганоконтейнеры, то в таком случае говорят о злоумышленной атаке на стеганосистему.

Среди стеганосистем выделяют системы скрытой передачи данных, цифровых водяных знаков (ЦВЗ), идентификационных номеров (отпечатков пальцев) и заголовков.

Большинство используемых контейнеров зашумлены. По определению считается, что если нам удалось внедрить информацию в шумы, то мы имеем дело со стойким стеганоалгоритмом при пассивных атаках. Спектральные алгоритмы стеганографии [2] позволяют делать внедрение сообщения в спектр шума и поэтому являются стойкими. Приведенный ниже стеганоалгоритм позволяет не только внедрять сообщение в шумовую компоненту сигнала, но и делать это таким образом, что при этом величина изменения спектра стеганоконтейнера будет соизмерима с погрешностью округления стеганоалгоритма.

Если погрешность обработки, вызванная наличием погрешности округления стегаоалгоритма, меньше шума сигнала, получаем двойную стегаографическую защиту секретного сообщения: оно будет внедряться в те фрагменты контейнера, значение элементов которых не превышает уровня шума, точнее, на уровне погрешности округления стегаоалгоритма.

Эта идея построения стегаоалгоритма является оригинальной и на ее основе построен класс теоретически стойких стегаографических алгоритмов (нарушитель не в состоянии определить факт использования стегаосистемы, так как не существует способа отличить пустой контейнер от заполненного) [7].

Одним из инструментов, широко используемых при разработке стегаосистем, является спектральный анализ сигналов и изображений, дискретное преобразование Фурье (ДПФ), дискретное косинусное преобразование (ДКП), дискретное вейвлет-преобразование (ДВП) и быстрые алгоритмы их реализации.

Для одномерного сигнала  $f(n), n = \overline{0, N-1}$  ДПФ  $F(r)$  имеет вид

$$F(r) = \sum_{n=0}^{N-1} f(n)W^{nr}, \quad W = e^{-i\frac{2\pi}{N}}, r = \overline{0, N-1}. \quad (1)$$

Для восстановления  $f(n)$  используется обратное дискретное преобразование Фурье (ОДПФ):

$$f(n) = \frac{1}{N} \sum_{r=0}^{N-1} F(r)W^{-nr}, \quad n = \overline{0, N-1}. \quad (2)$$

$F(r)$  можно разделить на действительную и мнимую части:

$$\begin{aligned} \operatorname{Re}(F(r)) &= \sum_{n=0}^{N-1} f(n) \cos\left(2\pi \frac{rn}{N}\right), \\ \operatorname{Im}(F(r)) &= \sum_{n=0}^{N-1} f(n) \sin\left(2\pi \frac{rn}{N}\right). \end{aligned}$$

$F(r)$  можно также представить в виде амплитудного и фазового спектров:

$$\begin{aligned} |F(r)| &= \sqrt{\operatorname{Re}^2(F(r)) + \operatorname{Im}^2(F(r))}, \\ \arg[F(r)] &= \operatorname{arctg} \frac{\operatorname{Im}(F(r))}{\operatorname{Re}(F(r))}, r = \overline{0, N-1}. \end{aligned} \quad (3)$$

При работе с изображениями используется двумерное ДПФ. Пусть  $f(k, m)$  — изображение размером  $N \times M$ . ДПФ данного изображения имеет вид

$$F(r, d) = \sum_{k=0}^{N-1} \sum_{m=0}^{M-1} f(k, m) \cdot e^{-2\pi i \left( \frac{rk}{N} + \frac{dm}{M} \right)}, \quad (4)$$

$$r = \overline{0, N-1}; d = \overline{0, M-1}.$$

Восстанавливается изображение с помощью ОДПФ

$$f(k, m) = \frac{1}{NM} \sum_{r=0}^{N-1} \sum_{d=0}^{M-1} F(r, d) \cdot e^{2\pi i \left( \frac{rk}{N} + \frac{dm}{M} \right)}, \quad (5)$$

$$k = \overline{0, N-1}; m = \overline{0, M-1}.$$

Базовой операцией стегаоалгоритма является ДПФ, используемое в одномерном случае трижды [7]: два раза отправителем и один раз получателем. Стегаоалгоритм изображен на рис. 1.

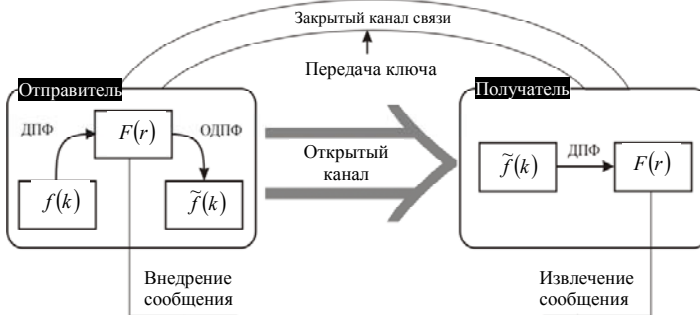


Рис. 1. Общая структура спектральных алгоритмов на базе оценок погрешности округления

Для уменьшения оценок сложности стегаоалгоритма и оценок погрешности округления для вычисления ДПФ будем использовать эффективную вычислительную процедуру быстрого преобразования Фурье (БПФ), которая вместо  $O(N^2)$  комплексных операций сложения и умножения для стандартного метода, требует  $O(N \log_2 N)$  таких операций. При этом отметим, что оценки снизу количества операций комплексного сложения ( $Q^+$ ) и умножения ( $Q^*$ ) вычисления ДПФ имеют вид [8]

$$Q^+ \geq \frac{N}{2} \log_2 N, \quad (6)$$

$$Q^* = O(N).$$

Коэффициент ускорения вычислений ДПФ ( $K$ ) стандартного алгоритма по отношению к БПФ имеет вид

$$K = \frac{N}{\log_2 N}. \quad (7)$$

Из (7) видно, что с ростом  $N$   $K$  растет. Асимптотическую эффективность алгоритма БПФ можно сформулировать следующим образом: существует такое  $N_0$ , что для всех  $N \geq N_0$  количество операций алгоритма БПФ составляет лишь 1% от количества операций стандартного метода.

Мы будем использовать ту модификацию алгоритма БПФ, которая минимизирует вычислительные затраты для вычисления тригонометрических функций и пересчета матрицы преобразования  $[W^{rk}]$

$$\left( W = e^{-i\frac{2\pi}{N}} \right), r, k = \overline{0, N-1} \quad [9].$$

Для этой модификации алгоритма

БПФ (с предварительной заготовкой матрицы преобразования)  $A$  в работе [8] получены оценки его сложности по операциям умножения  $Q_N^*(A)$  и «бабочек»  $Q_N^0(A)$ :

$$\begin{aligned} Q_N^*(A) &= \left[ \frac{N \log_2 N}{2} - \frac{5}{3}N + 8 \right], \\ Q_N^0(A) &= \left[ \frac{N \log_2 N}{2} - \frac{13}{8}N + \frac{5}{8} \right]. \end{aligned} \quad (8)$$

Отметим, что в алгоритме  $A$  использовано его распараллеливание в зависимости от сложности «бабочки». Это дало возможность улучшить оценки сложности в сравнении с оценкой снизу для  $Q_N^+$  (см. первую из оценок (6)).

Применение модификации алгоритма БПФ  $A$  особо эффективно при решении серии задач. Среди таких задач можно указать задачи двуключевой криптографии, компьютерной стеганографии, цифровой обработки сигналов и другие [5].

Как будет показано ниже, алгоритм БПФ не только существенно сокращает оценки сложности алгоритмов, вычисляющих ДПФ, но и соответствующие оценки погрешностей округления. В спектральном стеганоалгоритме оценки погрешности округления будут активно использоваться для выбора разрядов компонент спектра шума, в которые будет встраиваться передаваемое сообщение. Это является «изюминкой» стеганоалгоритма.

Пусть  $f(\cdot)$  обозначает результат вычисления выражения, стоящего в скобках в режиме с плавающей запятой. Имеют место сле-

дующие оценки евклидовой нормы погрешности округления вычисления ДПФ  $F$  [10]:

- для стандартного алгоритма

$$\|\varepsilon^0\|_E < C \cdot (2N)^{\frac{3}{2}}; \quad (9)$$

- для БПФ при

$$N = \prod_{j=1}^{\gamma} N_j$$

$$\|\varepsilon^0\|_E < C \cdot \sum_{j=1}^{\gamma} (2N_j)^{\frac{3}{2}}; \quad (10)$$

- для БПФ при

$$N_1 = N_2 = \dots = N_{\gamma} = 2$$

$$\|\varepsilon^0\|_E < 8C \cdot \log_2 N, \quad (11)$$

где  $\varepsilon^0 = fl(F) - F$ ,  $C = 1.06 \cdot \|F\|_E \cdot 2^{-\tau}$ ,  $\tau$  — количество двоичных разрядов у мантисс чисел при вычислении в режиме плавающей запятой.

В работе [3] подробно описан стеганоалгоритм, базирующийся на использовании оценок погрешности округления (10), (11) для одномерных и двумерных сигналов и результаты его тестирования для двух типов сигналов в одномерном случае и двумерного сигнала-контейнера. Кроме этого оценена пропускная способность созданной этой системой стеганоканала.

**Резервы оптимизации стеганоалгоритма.** Первый резерв оптимизации — это использование тех модификаций алгоритма БПФ (например, алгоритма  $A$ ), которые максимально улучшают оценки сложности рассматриваемого стеганоалгоритма. Это и представление элементов матрицы преобразования в виде, не зависящем от  $N$  (от  $N$  зависит лишь число необходимых ранее заготовленных элементов матрицы  $\frac{N}{2}$ ); это и сокращение информации о матрице в  $2N$  раз;

это и минимизация операций на поиск и выборку необходимого на данной итерации алгоритма элемента матрицы; это и распараллеливание алгоритма по сложности «бабочек» и другие.

Второй резерв состоит в использовании иных оценок погрешностей округления, которые учитывают:

- тот факт, что элементы матрицы преобразования, которые вычисляются, известны лишь приближенно;

- различные нормы вектора погрешностей округления;
- различные режимы вычислений (с плавающей или фиксированной запятой);
- различные способы округления (классический, отсечение и рандомизированный);
- кроме детерминированных также вероятностные оценки;
- многомерность цифрового контейнера.

Использование этого резерва оптимизации даст возможность приспособиться к реальной вычислительной ситуации и более точно определить номер разряда шумовой компоненты контейнера, в который будет произведено внедрение бита передаваемого сообщения, что позволит повысить стеганостойкость алгоритма.

Приведем некоторые из анонсированных оценок погрешностей округления.

В работе [11] приведены оценки для  $\|\varepsilon^0\|_E$  и  $\|\varepsilon^0\|_1$  в предположении, что элементы матрицы  $W$  вычислены приближенно:

$$f(\sin(f(\alpha))) = \sin(\alpha) + \delta \cdot \theta \cdot \varepsilon,$$

$$f(\cos(f(\alpha))) = \cos(\alpha) + \delta \cdot \theta \cdot \varepsilon,$$

где  $\delta \geq 0$  — абсолютная константа,  $-1 \leq \theta \leq 1$ ,  $\varepsilon = 2^{-\tau}$ ; вычисления ведутся в режиме с плавающей запятой. Константа  $\delta$  зависит от способа вычисления синусов и косинусов и их аргументов и не зависит от входных данных. Оценки при  $N_1 = N_2 = \dots = N_\gamma$  имеют вид

$$\|\varepsilon^0\|_E < \left[ K(N, \delta) \cdot \varepsilon + O(\varepsilon^2) \right] \|F\|_E; \quad (12)$$

$$\|\varepsilon^0\|_1 < \left[ \sqrt{N} \cdot K(N, \delta) \cdot \varepsilon + O(\varepsilon^2) \right] \frac{1}{\sqrt{N}} \|F\|_E, \quad (13)$$

где

$$K(N, \delta) = \sum_{i=1}^{\gamma} \alpha(N_i) + (\gamma - 1)(3 + 2\delta),$$

$$\alpha(N_i) = \begin{cases} \sqrt{2} & \text{при } N_i = 2; \\ 5 & \text{при } N_i = 4; \\ 2\sqrt{N_i(N_i + \delta)} & \text{в других случаях.} \end{cases}$$

Для алгоритмов БПФ с основаниями 2 и 4

$$K(2^\gamma, \delta) = (3 + \sqrt{2} + 2\delta)\gamma - (3 + 2\delta), \quad (14)$$

$$K(4^\gamma, \delta) = (8 + 2\delta)\gamma - (3 + 2\delta). \quad (15)$$

Рассмотрим теперь задачу оценки погрешности округления вычисления многомерного ДПФ:

$$F(r_1, r_2, \dots, r_m) = \sum_{s_1} \sum_{s_2} \dots \sum_{s_m} \exp\left(\frac{s_1 r_1}{N_1} + \frac{s_2 r_2}{N_2} + \dots + \frac{s_m r_m}{N_m}\right) \times \quad (16)$$

$$\times f(s_1, s_2, \dots, s_m), \quad s_i, r_i = \overline{0, N_i - 1}; \quad i = \overline{1, m}.$$

Пусть, по аналогии с одномерным случаем,

$$\varepsilon(r_1, r_2, \dots, r_m) = fl(F(r_1, r_2, \dots, r_m)) - F(r_1, r_2, \dots, r_m);$$

$$\|\varepsilon\|_E = \left\{ \sum_{r_1} \sum_{r_2} \dots \sum_{r_m} |\varepsilon(r_1, r_2, \dots, r_m)|^2 \right\}^{\frac{1}{2}};$$

$$\|\varepsilon\|_1 = \max_{r_1, r_2, \dots, r_m} |\varepsilon(r_1, r_2, \dots, r_m)|.$$

Тогда

$$\|\varepsilon\|_E \leq \left[ \varepsilon \cdot \sum_{i=1}^m K(N_i, \delta) + O(\varepsilon^2) \right] \cdot \|F\|_E, \quad (17)$$

$$\|\varepsilon\|_1 \leq \left[ \varepsilon(N_1, N_2, \dots, N_m) \cdot \frac{1}{2} \sum_{i=1}^m K(N_i, \delta) + O(\varepsilon^2) \right] \frac{1}{(N_1, N_2, \dots, N_m)^{\frac{1}{2}}} \|F\|_E. \quad (18)$$

В работах [12, 13] получены вероятностные оценки для отношения дисперсий погрешности округления и ДПФ для режимов вычислений с плавающей и фиксированной запятой и использовании рандомизированного правила округлений.

Для режима плавающей запятой и для случая, когда  $f(n), n = \overline{0, N-1}$  — белый шум:

$$\frac{\sigma_{\varepsilon^0}^2}{\sigma_F^2} = 0,21 \cdot 2^{-2\tau} \cdot \gamma, \quad (N = 2^\gamma). \quad (19)$$

В случае, если используется правило округления — отсечение результатов, в правой части (19) будет не линейная зависимость от  $\gamma$ , а квадратичная.

Для режима фиксированной запятой в случае детерминированного сигнала

$$|f(n)| < \frac{1}{2}, \quad n = \overline{0, N-1}$$

и рандомизированного правила округления имеет место следующая двусторонняя оценка

$$(\gamma - 2,5)c^2 \cdot 2^{-2r} \leq \frac{\sigma_{\varepsilon^0}^2}{\sigma_F^2} \leq 2^{\gamma+4} \cdot 2^{-2r} \cdot \frac{c^2}{\sqrt{K}},$$

где  $K = \frac{1}{N} \sum_{n=0}^{N-1} |f(n)|^2$ ;  $c = 0,3$  для округления;  $c = 0,4$  для отсечения результатов операции.

**Тестирование качества стеганоалгоритма с использованием резервов оптимизации.** Самым тонким местом тестирования является выявление (на основе использования оценок погрешности округления стеганоалгоритма (17)–(19)) номера разряда пустого контейнера, в который нужно внедрять бит сообщения и определение качества стеганоалгоритма.

Предметом тестирования являются эффективные по быстрдействию спектральные алгоритмы построения стеганоконтейнера на основе оценок погрешностей округления алгоритма БПФ с разными способами формирования ключа.

Цель тестирования — проверка качества оценок их основных характеристик: стеганостойкости, пропускной способности и быстродействия с целью выявления их зависимости от значений основных параметров алгоритмов и выявления областей их эффективного применения в задачах скрытой передачи информации.

Вычислительный эксперимент будет построен таким образом, чтобы продемонстрировать разные способы встраивания секретной информации в разного вида пустые цифровые контейнеры.

Опишем подробнее сам объект тестирования — спектральный стеганоалгоритм, который основывается на использовании оценок погрешности округления алгоритма БПФ.

Пусть наша задача — скрытая передача сообщения в некотором дискретном сигнале  $f(k), k = \overline{0, N-1}$ . При этом в качестве  $f(k)$  возьмем сигнал вида:

$$f(k) = f_1(k) + n(k) = a_0 + \sum_{i=1}^l (a_i \cos \omega_i k + b_i \sin \omega_i k) + n(k), \quad (20)$$

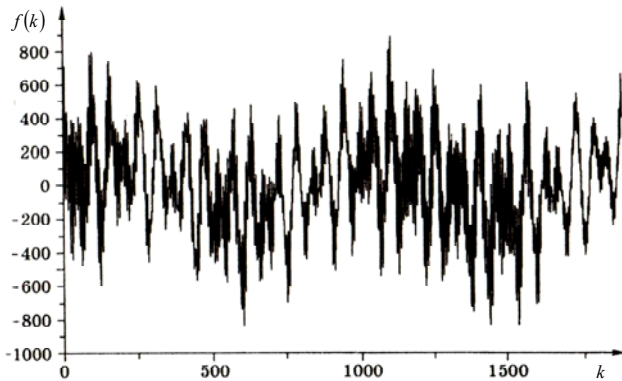
где  $n(k)$  — выборка шумовой компоненты сигнала  $f(k), k = \overline{0, N-1}$  и известно, что в процессе передачи  $f(k)$  подлежит спектральной обработке с использованием алгоритма БПФ.

В процессе вычисления на компьютере коэффициентов ДПФ сигнала возникают погрешности округления (см. соотношения (9)–(13), (17)–(19)), что приводит к несоответствию входного сигнала  $f(k)$  с сигналом  $f'(k)$ , который получен из  $f(k)$  после выполнения ДПФ и ОДПФ. Отсюда следует, что можно модифицировать разряды в отсчетах

сигнала таким образом, чтобы погрешность, которая возникает от встраивания сообщения, была соизмерима с погрешностью округления, которая возникает в процессе обработки сигнала (рис. 1). Выбор для встраивания последнего верного разряда позволит скрыть присутствие встроенной информации в стеганоконтейнере  $\tilde{f}(k)$  ( $\tilde{f}(k)$  получается из  $f(k)$ ) после вычисления ДПФ, процедуры встраивания и ОДПФ).

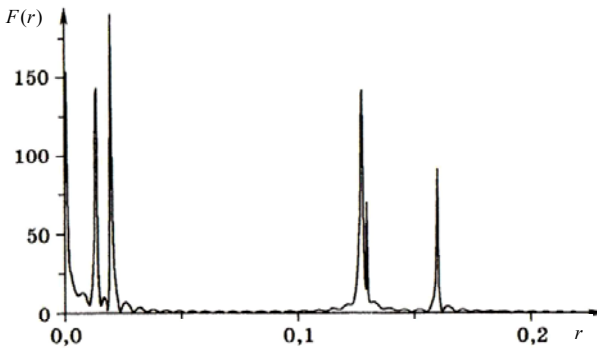
Основной операцией спектрального стеганоалгоритма является ДПФ, оно используется трижды: два раза отправителем и один раз получателем.

Случайный сигнал (20) можно использовать в качестве пустого цифрового контейнера для передачи секретного сообщения.



*Рис. 2. Пример случайного сигнала, который используется для передачи секретного сообщения*

Спектр зашумленного сигнала  $f(k)$  состоит из главных и побочных лепестков.



*Рис. 3. Амплитудный спектр сигнала*

Для встраивания сообщения используются побочные лепестки, которые соответствуют уровню шума и погрешности округления, так как встраивание в главные лепестки приводит к большой погрешности восстановления сигнала.

Необходимой процедурой является процедура формирования ключа. Для данного алгоритма это будет фиксация мест встраивания бит сообщения в спектр контейнера.

Обозначим секретное сообщение  $y : y = (y_1, \dots, y_p)$ , а ключ  $z : z = (z_1, \dots, z_p)$ .

Тогда для встраивания секретного сообщения в цифровой контейнер  $f(k), k = 0, N-1$  можно использовать следующий алгоритм.

Используем алгоритм БПФ в качестве селективного преобразования [14] для селекции периодической компоненты с целью определения частот  $\omega_j$  и приближенного значения амплитуд

$$a_0, a_j, b_j, r_j = \sqrt{a_j^2 + b_j^2}, j = \overline{1, l}.$$

Для минимизации погрешности восстановления сигнала  $f(k)$  будем встраивать сообщение  $y$  в побочные лепестки спектра  $F(r)$ , амплитуды которых меньше, чем амплитуды выделенных пиков на заданное пороговое значение. Для этого воспользуемся соотношениями

$$\frac{r(w_j)}{r_{\max}} \leq \xi, \quad (21)$$

$$\frac{a(w_j)}{a_{\max}} \leq \xi, \quad (22)$$

$$\frac{b(w_j)}{b_{\max}} \leq \xi, \quad j = \overline{0, N-1}. \quad (23)$$

Внедрение бита  $y_i$  будем осуществлять в бит побочного лепестка на место, которое является предыдущим к первому верному биту  $F(r)$  (относительно оценки апостериорной погрешности округления алгоритма БПФ).

Ключом является номер бита  $\tau_k$  в который внедряются биты сообщения, а также  $p$  номеров  $j$ , для которых выполняется одно из соотношений (21–23). То есть общая длина ключа  $k = p + 1$ , а в случае, когда сообщение внедряется в действительную и мнимую части спектра  $k = p + 2$ .

**Выводы.** В работе показано, как применение более общих и точных оценок погрешности округления алгоритма БПФ может быть использовано для повышения стеганостойкости спектрального алгоритма.

### Список использованной литературы:

1. Компьютерные технологии решения задач прикладной и вычислительной математики с заданными значениями характеристик качества / И. В. Сергиенко, В. К. Задирака, М. Д. Бабич и др. // Кибернетика и системный анализ. — 2006. — № 5. — С. 33–41.
2. Кошкина Н. В. Спектральные методы решения задач компьютерной стеганографии / Н. В. Кошкина, В. К. Задирака // Проблемы управления и информатики. — 2011. — № 4. — С. 132–151.
3. Оптимальні алгоритми обчислення інтегралів від швидкоосцилюючих функцій та їх застосування / І. В. Сергієнко, В. К. Задирака, О. М. Литвин та ін. — К. : Наукова думка, 2011. — Том 2. Застосування. — 348 с.
4. Current problems in information and computational technologies / M. Junisbekov at all. — Lublin : Politechnica Lubelska, 2012. — P. 61–98.
5. Задирака В. К. Комп'ютерна криптологія : підручник / В. К. Задирака, О. С. Олексюк. — К., 2002. — 504 с.
6. Стеганографічний алгоритм вкраплення інформації в зображення стійкий до стискування // Збірник наукових праць «Поступ в науку» міжнар. проблемно-наукової міжгалузевої конф. «Інформаційні проблеми комп'ютерних систем, юриспруденції, енергетики, економіки, моделювання та управління (ПНМК–2011)». — Бучач : Інститут менеджменту і аудиту. — № 7. — С. 166–170.
7. Задирака В. К. Спектральные алгоритмы компьютерной стеганографии / В. К. Задирака, С. С. Мельникова, Н. В. Бородавка // Искусственный интеллект. — 2002. — № 3. — С. 532–541.
8. Задирака В. К. Теория вычисления преобразования Фурье / В. К. Задирака. — К. : Наук. думка, 1983. — 216 с.
9. Задирака В. К. Об одной модификации алгоритма быстрого преобразования Фурье. В кн.: Вопросы оптимизации и организации вычислений / В. К. Задирака. — К. : О-во «Знание» УССР, 1973. — С. 13–19.
10. Gentleman W. M. Fast Fourier transform for fun and profit / W. M. Gentleman, G. Sande // A FIPS Proc. — 1966. — Vol. 29. — P. 563–578.
11. Ramos G. K. Roundoff error in multidimensional generalized discrete transform / G. K. Ramos // IEEE Circuits and Syst. — 1974. — Vol. 21. — P. 100–108.
12. Weinstein C. J. Roundoff noise in floating point fast Fourier transform computation / C. J. Weinstein // IEEE Trans. Audio and Electroacoust. — 1969. — Vol. 19. — № 2. — P. 209–215.
13. Welch P. O. A fixed point fast Fourier transform error analysis / P. O. Welch // IEEE Trans. Audio and Electroacoust. — Vol. 17. — № 2. — P. 151–157.
14. Серебренников М. Г. Выявление скрытых периодичностей / М. Г. Серебренников, А. А. Первозванский. — М. : Наука, 1965. — 224 с.

The use of steganography algorithm's optimization reserves for increasing of its security is discussed.

**Key words:** *steganography, spectral algorithm, steganographic security, round-off error estimation, discrete Fourier transformation.*

Отримано: 23.04.2015